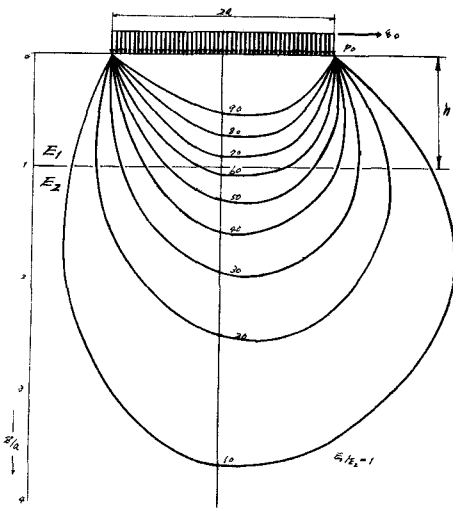


シェル石油 正員 ○牛尾俊介
北海道大学 正員 菅村仁
北海道大学 正員 菅原照雄

1) 概論: アスファルト舗装体はあくまで弾性体であり、その状態に於ては弾性体と考へる事も可能であるといふ観点から、アスファルト舗装体を弾性力学的に解析しようとする研究が最近特に注目される。特に、二層、三層構造体に関する Burmister⁽¹⁾ や Fox⁽²⁾ の研究は、そのうちの一つとして注目に値する。彼らは二層、三層構造に鉛直荷重が加わった場合の載荷軸上についてかなり詳しい解析と計算を行なっており、しかもこれらは載荷軸上についてだけのことであり、任意点の応力、変位を求めるまでには改めており、年坂氏は Sneddon⁽³⁾ の Hankel 变換による軸対称弹性問題の解析方法を非軸対称弹性問題に発展させ、Schiffman⁽⁴⁾ はこれらの理論を多層問題に適用して多層系の一般解を示している。又木村氏⁽⁵⁾ はこの理論を用い、舗装体が剪断荷重を受ける場合を取り扱っている。本論文では、鉛直荷重と剪断荷重が加わった場合の舗装体内部の任意点の応力式を求め、数値計算を行い、圧力球根、主応力線、主剪断力線を求めて見た。尚計算は東大大型計算機 HITAC 5020 と北大計算機 HIPAC 103 を用いた。

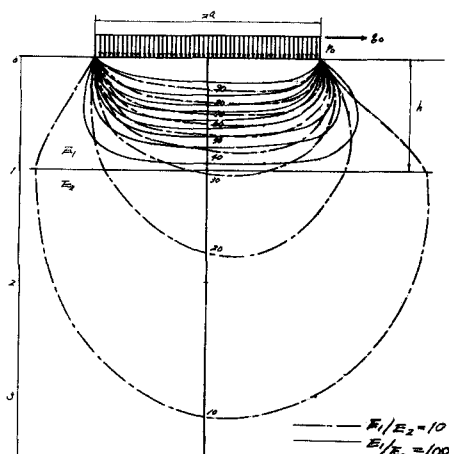
2) 結果: 計算に用いた基本方程式および各種の応力式は附面の都合上省略した。今土層の弾性係数を E_1 、下層の弾性係数を E_2 、荷重半径を a 、上層の厚さを z_a とした時、図-1 は $a/h = 1$ 、 $E_1/E_2 = 10$ の場合、図-2 は $a/h = 1$ で $E_1/E_2 = 10$ 、 $E_1/E_2 = 100$ の場合の圧力球根である。図-3、図-4 は各々、 $a/h = 1$ で $E_1/E_2 = 1$ 、 $E_1/E_2 = 100$ の場合の主応力線、主剪断力線である。これらの図から鉛直荷重、剪断荷重が加わった場合の舗装体内部の応力分布を知ることができる。(図に於て P_0 、 θ_0 は各々鉛直、剪断の等分布荷重である。 $P_0 = P_0/2$ とした。)

図-1 鉛直荷重と剪断荷重が加わった場合の圧力球根



各曲線上の数字は $(P_0 + \theta_0)$ に対する百分率である。

図-2 鉛直荷重と剪断荷重が加わった場合の圧力球根



各曲線上の数字は $(P_0 + \theta_0)$ に対する百分率である。

図-3 鉛直荷重と剪断荷重が併いた時の主応力線(——)と主剪断力線(-----)

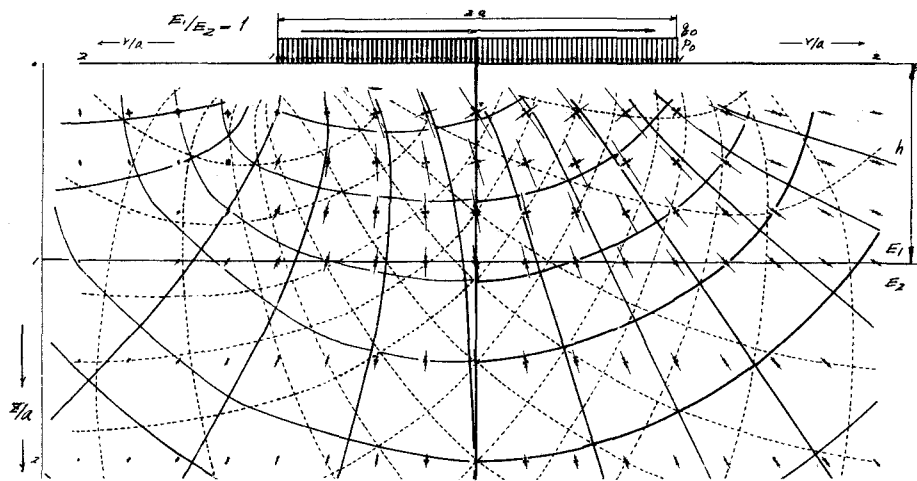
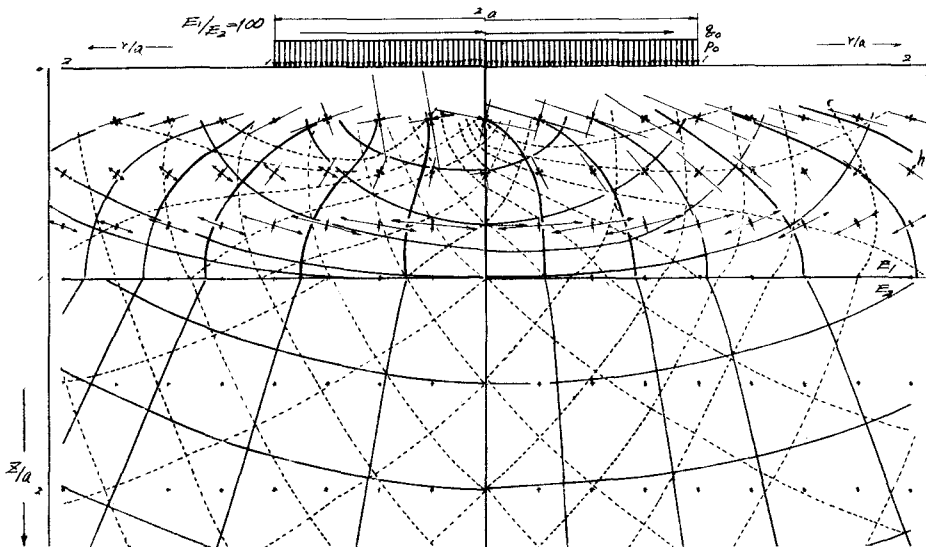


図-4 鉛直荷重と剪断荷重が併いた時の主応力線(——)と主剪断力線(-----)



参考文献

- (1) D. M. BURMISTER The General Theory of Stresses and Displacements in Layered Systems. (J. Appl. phys. 1945. Vol. 16)
- (2) L. FOX Computation of traffic stresses in a simple road structure. (Department of Scientific and Industrial Research, Road Research Technical paper No. 9. 1948)
- (3) 幸嶽 康次 Three Dimensional Problem of Elasticity Theory for a Semi-infinite Solid Compressed by a Rigid Body. (日本機械学会論文集 Vol. 21 昭和30年)
- (4) Sneddon Fourier Transform (International series in pure and applied mathematics McGraw-Hill)
- (5) Schiffman General Analysis of stresses and Displacements in Layered Elastic Systems.
- (6) 木村 直 $\pm h$ 断力を受ける舗装の応力分布 (土木学会論文集 No. 133-2)